

Anlage D: Bilder der untersuchten Immissionsorte



Bild 1: Immissionsort IO-01, von Osten



Bild 2: Immissionsort IO-02, von Nordwesten

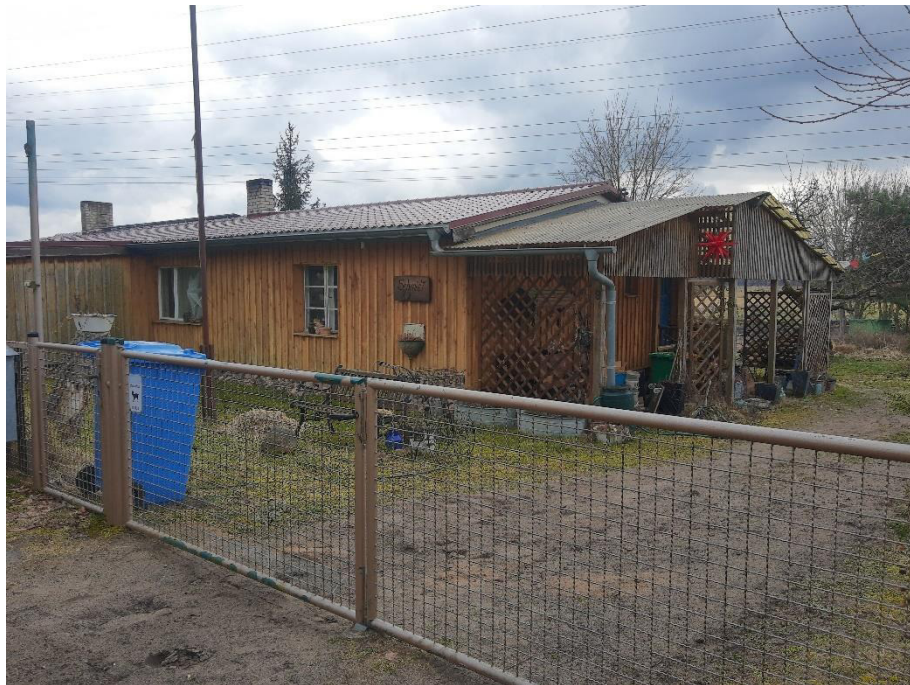


Bild 3: Immissionsort IO-03, von Norden



Bild 4: Immissionsort IO-04, von Osten



Bild 5: Immissionsort IO-05, von Nordosten



Bild 6: Immissionsort IO-06, von Südwesten



Bild 7: Immissionsort IO-07, von Nordosten



Bild 8: Immissionsort IO-08, von Nordosten



Bild 9: Immissionsort IO-09, von Nordosten



Bild 10: Immissionsort IO-10, von Nordosten



Bild 11: Immissionsort IO-11, von Süden



Bild 12: Immissionsort IO-12, von Osten



Bild 13: Immissionsort IO-13, von Südosten



Bild 14: Immissionsort IO-14, von Südwesten



Bild 15: Immissionsort IO-15, von Nordwesten



Bild 16: Immissionsort IO-16, von Südosten



Bild 17: Immissionsort IO-17



Bild 18: Immissionsort IO-18, von Süden



Bild 19: Immissionsort IO-19, von Nordosten



Bild 20: Immissionsort IO-20, von Nordosten